

بهینه‌سازی فرمولاسیون نوشیدنی فراسودمند هلو و بررسی ویژگی‌های حسی، فیزیکی و شیمیایی آن

الهام افشاری^۱، زهرا بیگ محمدی^{۲*}، عادل میرمجیدی هشتاجین^۳

۱- گروه علوم و مهندسی صنایع غذایی، دانشکده داروسازی، دانشگاه علوم پزشکی آزاد اسلامی تهران، ایران.

۲- باشگاه پژوهشگران جوان و نخبگان، علوم پزشکی تهران، دانشگاه آزاد اسلامی، تهران، ایران.

۳- عضو هیأت علمی مؤسسه تحقیقات فنی و مهندسی کشاورزی، سازمان تحقیقات، آموزش و ترویج کشاورزی، کرج، ایران.

(تاریخ دریافت: ۹۸/۰۳/۲۴ تاریخ پذیرش: ۹۸/۰۷/۱۵)

چکیده

هدف از این پژوهش، تولید یک نوشیدنی فراسودمند هلو است. بدین منظور، فرمولاسیون این نوشیدنی شامل پروتئین آبپنیر (۱۵٪)، استویا (۰٪) به عنوان جایگزین شکر و اینولین (۸٪-۴٪) به وسیله روش سطح پاسخ و در قالب یک طرح مرکب ارتفاع پیدا کرد ولی استویا از تاثیر معنی داری بر آن برخوردار نبود. دادند که بریکس نمونه‌ها به طور قابل توجهی با افزایش پروتئین آبپنیر یا اینولین ارتفاع پیدا کرد ولی استویا از تاثیر معنی داری بر آن برخوردار نبود. مشاهده شد که پروتئین آبپنیر به صورت معنی داری باعث افزایش رسوب و اینولین باعث کاهش آن شد. با این حال، هر دو به گونه معنی داری افزایش کدورت را به همراه داشتند. استویا نیز از تاثیر معنی داری بر رسوب و کدورت برخوردار نبود. با استفاده از روش سطح پاسخ، چهار نمونه شامل نمونه دارای کمترین رسوب (کد ۱)، نمونه دارای کمترین رسوب و بیشترین استویا (کد ۲)، نمونه دارای کمترین رسوب و بیشترین پروتئین (کد ۳) و نمونه دارای کمترین رسوب، بیشترین استویا و بیشترین پروتئین (کد ۴) برگزیده شدند. نتایج نشان داد که همه نمونه‌ها دارای یک رفتار غلیظ‌شونده با برش هستند. اگرچه تفاوت‌های بسیار جزئی بین شاخص‌های رفتار جریانی آن‌ها مشاهده شد. از نقطه نظر ویژگی‌های حسی شامل طعم، بو و احساس دهانی نیز تفاوت معنی داری بین این چهار نمونه مشاهده نشد ولی پذیرش کلی نمونه کد ۲ به طور معنی داری بهتر از نمونه کد ۱ بود اگرچه تفاوت معنی داری با نمونه کد ۳ و ۴ نداشت. در پایان، می‌توان نمونه کد ۲ (پروتئین آبپنیر ۰٪ و اینولین ۳۴٪ درصد وزنی/وزنی) را به عنوان نمونه دارای کمترین رسوب (حدود ۱۰٪) و بالاترین کیفیت ارگانولپتیک به عنوان بهترین نمونه معرفی نمود.

کلید واژگان: آب هلو، پروتئین آبپنیر، استویا، اینولین، روش سطح پاسخ، فراسودمند

*مسئول مکاتبات: Beigmohammadi.zahra@gmail.com

۱- مقدمه

برای چیرگی بر این چالش، کاهش pH نوشیدنی پروتئین به مقادیری به مراتب کمتر از نقطه ایزوالکتریک پروتئین‌های آب-پنیر می‌باشد [۳]. با این حال، ماهیت بسیار اسیدی این نوشیدنی‌ها، خود، عامل ایجاد طعم گسی آنها می‌باشد [۷]. بر این اساس، استفاده از استراتژی‌های جایگزین اسیدی کردن برای جلوگیری از کدورت و رسوب، همچنین، استفاده از شیرین‌کننده‌های دیگری به جای شکر در فرمولاسیون آب‌میوه‌های حاوی پروتئین‌های آب‌پنیر، از اهمیتی دوچندان برخوردار می‌باشد.

یکی از راهکارهای کاهش رسوب نوشیدنی‌های پروتئینی استفاده از ترکیبات ویسکوزکننده می‌باشد [۸]. تیموری و همکاران (۲۰۱۸) گزارش کردند که اینولین قادر به ممانعت کامل از دوفاژشدن نوشیدنی‌های آب آبالو پروتئینه می‌باشد [۸]. اینولین پلی‌ساقاریدی متشكل از واحدهای D-فروکتوز با درجه پلیمریزاسیون ۲ تا ۶۰ است که توسط پیوندهای β (۱→۲) به یکدیگر متصل شده‌اند و عموماً یک مولکول گلوکز با پیوند α (۱→۴) به یک انتهای زنجیره فروکتوزی متصل و تشکیل یک مولکول ساکارز را می‌دهد [۹]. اینولین به صورت طبیعی در طیف وسیعی از گیاهان از جمله گل کوک، کنگر فرنگی و کاسنی به عنوان یک پلی‌ساقارید ذخیره‌ای و بوسیله سوش‌های باکتریایی از خانواده سودوموناسه، آنتروباکتریاسه، استرپتوکوکاسه، اکتینیومیناسه و باسیلاسه به عنوان یک پلی‌ساقارید خارج‌سلولی تولید می‌شود [۱۰]. اینولین عمدهاً به عنوان جایگزین چربی، جایگزین شکر و پری‌بیوتیک در فرآورده‌های لبنی، گوشتی و غلات مورد استفاده قرار می‌گیرد. با این حال، به دلیل ویژگی‌های قوام‌دهنده‌گی و ویسکوزکننده‌گی، از پتانسیل بالای برای پایداری نوشیدنی‌های پروتئینه برخوردار می‌باشد [۱۱]. در واقع، گمان می‌رود که اینولین با افزایش ویسکوزیته نوشیدنی، امکان بهم‌پیوستن پروتئین‌های دناتوره شده به یکدیگر و تشکیل تجمع‌های پروتئینی که عامل اصلی ایجاد کدورت و رسوب در این فرآورده‌ها می‌باشد را کاهش می‌دهد [۳]. افزون بر این، کاربرد اینولین در فرمولاسیون چنین نوشیدنی‌هایی، مصرف کننده‌را از ویژگی‌های سلامت‌بخش آن از جمله کاهش خطر ابتلا به بیماری چربی خون بالا و بیماری‌های قلبی-عروقی، تقویت سیستم ایمنی، درمان یبوست، بهبود جذب کلسیم، منیزیوم و

آگاهی روزافزون مصرف کننده‌گان نسبت به نقش تغذیه در سلامت، منجر به افزایش تقاضا برای غذاهای فراسودمند شده است. غذاهای فراسودمند، سلامت‌افزا یا عملکر به غذاهایی گفته می‌شود که علاوه بر ویژگی‌های معمول تغذیه‌ای، دارای ترکیبات یا اجزایی هستند که سلامت فرد را ارتقا داده و خطر ابتلا به برخی بیماری‌ها را کاهش می‌دهند [۱]. پروتئین‌های آب‌پنیر به دلیل ارزش بیولوژیکی بسیار بالا و همچنین دارا بودن توالی‌های پیتیدی با ویژگی‌های کاهنده‌گی کلسترول خون، ضد فشار خون، ضد دیابت، ضد میکروبی، آنتی‌اسیدانی، تسکین‌دهنده‌گی، القای احساس سیری (در ارتباط با افراد دارای اضافه وزن و چاق) و ... از پتانسیل بالایی برای استفاده در فرمولاسیون‌های غذایی فراسودمند برخوردار می‌باشند [۲]. در بین محصولات غذایی گوناگون، آب‌میوه‌ها به دلیل پروفایل تغذیه‌ای ارزشمند، ویژگی‌های ارگانولپتیک خوشایند و همچنین محبوبیت بالا بین گروه‌های سنی مختلف، یکی از کاندیداهای اصلی برای تلفیق پروتئین‌های آب‌پنیر به شمار می‌آیند. با این حال، تولید آب‌میوه‌های پروتئینه با چالش‌هایی همچون تاثیر منفی پروتئین‌های آب‌پنیر بر ویژگی‌های حسی محصول نهایی، کدورت و تهنشست رویرو می‌باشد [۳].

ویژگی‌های ارگانولپتیک ناخوشایند نوشیدنی‌های پروتئینه عموماً به طعم گسی^۱ آنها نسبت داده می‌شود. گفته می‌شود که طعم گسی آب‌میوه‌های پروتئینه در نتیجه تشکیل کمپلکس‌های پروتئین آب‌پنیر-پروتئین براق و در پی آن، رسوب آن‌ها در حفره‌های دهانی حاصل می‌شود [۴]. استفاده از مقادیر بالای شیرین‌کننده، به عنوان راهکاری برای چیرگی بر پس طعم گسی ناخوشایند این نوشیدنی‌ها عنوان شده است [۵]. با این حال، نوشیدنی‌های حاوی درصد بالایی از شیرین‌کننده‌هایی همچون ساکاروز، برای برخی از گروه‌های سنی همچون خردسالان و سالمندان و همچنین افراد مبتلا به بیماری‌هایی همچون اضافه وزن، چاقی مفرط و دیابت، مناسب نمی‌باشند. یکی دیگر از چالش‌های پیش روی تولید چنین نوشیدنی‌هایی، دناتوره شدن پروتئین‌های آب‌پنیر در نتیجه پاستوریزاسیون حرارتی محصول و در پی آن، تشکیل تجمع‌های پروتئینی می‌باشد که باعث کارشدن ظاهر نوشیدنی و همچنین تشکیل لایه‌های رسوب در آن طی دوره نگهداری می‌باشد [۶]. یکی از راهبردهای موثر

1. Astringency

پاسخ، با هدف دستیابی به محصولی با کمترین کدورت و رسوب و بهترین ویژگی‌های حسی می‌باشد.

۲- مواد و روش‌ها

۱-۲ مواد

پوره هلو از شرکت تکدانه (تهران، ایران)، پودر کنستانتره پروتئین آب‌پنیر (WPC) ۷۰ درصد پروتئین، ۱۶/۵ درصد لاکتوز، ۸ درصد خاکستر و ۰/۵ درصد چربی) از شرکت هیراد پودر (تهران، ایران) و اینولین متوسط زنجیر (با درجه پلیمریزاسیون ۱۲-۹) از شرکت پویاکابک (تهران، ایران) خریداری شدند. استویا نیز از شرکت تکفا (تهران، ایران) تهیه شد. اسید سیتریک و هیدروکسید سدیم از شرکت مرک خریداری شدند.

۲-۲ تولید نمونه

برای تهیه نمونه‌های نوشیدنی هلو فراسودمند، ابتدا، یک محلول ۱۶٪ وزنی/وزنی از پروتئین آب‌پنیر در دمای محیط با همزدن بوسیله یک همزن مغناطیسی (مدل D91126، شرکت Heidolph، ساخت آلمان) در سرعت ۱۰۰۰ دور در دقیقه تهیه شد و به مدت یک شب در دمای یخچال نگهداری شد تا به خوبی آبگیری شود. سپس، بر اساس طرح آزمایش (جدول ۲-۲)، محلول پروتئین آب‌پنیر، استویا و اینولین بوسیله یک ترازوی دیجیتال (مدل 210s BP، شرکت Sartorius ساخت امریکا) به دقت توزین شده و پس از افروden به پوره هلو، با آب دو بار تقطیر به حجم ۱۰۰ میلی لیتر رسیده و بوسیله یک همزن مغناطیسی در سرعت ۲۰۰ دور در دقیقه در دمای محیط به خوبی همزده شدند. در ادامه، pH همه نمونه‌ها با افروden اسید سیتریک، به مقدار ثابت ۳/۶ تنظیم شده و به‌وسیله یک بن‌ماری (مدل 620، شرکت Rostfrei، ساخت آلمان) در دمای ۸۰ درجه سلسیوس به مدت ۱۰ دقیقه پاستوریزه شدند. در نهایت، نمونه‌ها پس از سرد شدن تا دمای محیط، در ظروف پلی‌اتیلنی ۳۰۰ میلی لیتری پر شدند و تا زمان انجام آزمون‌ها که حداقل ۲۴ ساعت بود در یخچال نگهداری شدند [۳].

۳-۲ pH

برای اندازه‌گیری pH نمونه‌های نوشیدنی فراسودمند آب هلو، الکترود دستگاه pH‌متر (مدل 691، شرکت Metrohm

آهن، تقویت رشد میکروارگانیسم‌های مفید روده و .. بهره‌مند خواهد ساخت [۱۲].

امروزه استفاده از شیرین‌کننده‌های کم‌کالری جایگزین ساکاروز از جمله استویا، در فرآورده‌های غذایی بسیار گسترده می‌باشد. شیرین‌برگ یا استویا ریادیانا^۱ گیاهی از تیره کاسنیان است که پودر بدست آمده از برگ آن، چیزی حدود ۳۰۰ برابر شیرین‌تر از ساکاروز است [۱۳]. ماده‌ی شیرین‌کننده استویا که به استویوژید معروف است، کالری‌زا نیست و در سیستم گوارش جذب نمی‌شود. حلالیت چشمگیر در آب، مقاومت بالا به حرارت و نور، پایداری در محلول‌های اسیدی و بازی و همچنین تایید آن بوسیله مجامع مختلف بین‌المللی متصدی بهداشت و سلامت، این شیرین‌کننده را به جایگزین ایده‌آلی برای ساکاروز بدل کرده است [۱۴]. ویژگی‌های سلامت‌بخش استویا همچون ویژگی‌های آنتی‌اکسیدانی، ضدمیکروبی و ضدقارچی و همچنین حضور ترکیباتی مانند اسیدوفولیک، ویتامین ث و اسیدآمینه‌های ضروری در پروفایل شیمیایی آن، از دیگر دلایل جذابیت استفاده از آن در فرمولاسیون‌های غذایی کم‌کالری می‌باشد [۱۴].

با وجود پژوهش‌هایی که در ارتباط با تولید آب‌میوه‌های حاوی پروتئین‌های آب‌پنیر صورت گرفته است، تا کنون پژوهشی که در آن از اینولین به عنوان عامل کاهنده کدورت و رسوب و از استویا به عنوان جایگزین شکر در آب میوه تلفیق شده با پروتئین‌های آب‌پنیر استفاده شده باشد، گزارش نشده است. لازمه دستیابی به فرمولاسیون بهینه چنین فرآورده‌ای، تولید نمونه‌های فراوان و انجام آزمون و خطأ می‌باشد که خود مستلزم صرف هزینه‌های مالی و زمانی زیادی می‌باشد. طی سال‌های اخیر، کارایی روش سطح پاسخ برای بهینه‌سازی فرمولاسیون فرآورده‌های غذایی نوین به اثبات رسیده است. روش سطح پاسخ، شمار نمونه‌های مورد آزمون را کمینه می‌کند و با معرفی مدل‌های ریاضی بین متغیرهای وابسته و مستقل، ضمن فراهم‌کردن امکان بررسی اثر منفرد و متقابل اجزای فرمولاسیون بر ویژگی‌های محصول، فرمولاسیون بهینه محصول را نیز پیشنهاد می‌کند [۱۵]. از این رو، هدف از این پژوهش، بهینه‌سازی اجزای فرمولاسیون آب هلوی فراسودمند شامل پروتئین آب‌پنیر، اینولین و استویا بوسیله روش سطح

1. *Stevia rebaudiana*

مقدار معینی از هر نمونه در سل دستگاه اسپکتروفتومتر (مدل UV/Vis 2100، شرکت UNICO، ساخت چین) ریخته شد و جذب آن در طول موج ۳۶۵ نانومتر خوانده شد و به عنوان میزان کدورت نمونه‌های نوشیدنی گزارش شد.

۸-۲- گرانزوی و رفتار جریانی

برای اندازه‌گیری گرانزوی و تعیین رفتار جریانی، از دستگاه گرانزوی سنج بروکفیلد (Brookfield) مدل DVIII ساخت آمریکا استفاده شد. برای این منظور، نمونه محصول در یک بشر ۶۰۰ میلی‌لیتری تا رسیدن به خط شاخص ارتفاع ریخته شد. سپس، گرانزوی نمونه‌ها در دمای 2 ± 20 درجه سلسیوس (با استفاده از سنسور دماجی با پروف DVP-94Y) با استفاده از دوک (اسپندل) مناسب در نرخ برش ۰ تا ۲۰۰۰ بر ثانیه به‌منظور یافتن رفتار جریانی محصول اندازه‌گیری شد. نمایه‌های قوام و جریان با برآش داده‌های تجربی بر مدل قانون توان^۱ (رابطه ۲) به دست آمدند:

رابطه (۲)

$$\sigma = K\gamma^n$$

در این معادله، σ بیانگر تنش برشی (pa)، K اندیس قوام ($pa \cdot s^{-1}$)، γ نرخ برشی (s^{-1}) و n اندیس جریان می‌باشد [۱۷].

۹-۲- ارزیابی حسی

برای ارزیابی حسی نمونه‌های تولیدی نوشیدنی از افراد آموخته‌دیده و آزمون هدونیک پنج نقطه‌ای با مشخصات امتیازی ۱ تا ۵ به نحوی که امتیاز ۱ برای بدترین نمونه و امتیاز ۵ برای مطلوب‌ترین نمونه استفاده می‌گردد. نمونه‌ها از نظر خصوصیاتی مانند رنگ، طعم، احساس‌دهانی و پذیرش کلی مورد بررسی قرار خواهند گرفت [۱۸].

۱۰-۲- طرح آزمایش و تحلیل آماری

تیمارهای مختلف نوشیدنی فراسودمند هلو به‌وسیله روش سطح پاسخ و در قالب یک طرح مرکب مرکزی (CCD²) تعریف شدند. طرح مورد نظر با استفاده از سه فاکتور در سه سطح طراحی شد. فاکتورها شامل کنستانتره پروتئین آب‌پنیر،

ساخت سوئیس) درون نمونه قرار داده شد و pH آن قرائت شد.

۲-۴- اسیدیته

برای اندازه‌گیری اسیدیته نوشیدنی‌های فراسودمند هلو، مطابق با دستورالعمل استاندارد ملی ایران به شماره ۱۴۳۴۵ میلی- لیتر از هر نمونه به یک ارلن ۱۰۰ میلی‌لیتری منتقل و با سود ۱/۰ نرمال تا رسیدن میزان pH به ۸/۲ تیتر شد. اسیدیته بر اساس حجم سود مصرفی و بر حسب اسید سیتریک در میلی- لیتر نمونه طبق معادله زیر محاسبه شد:

رابطه (۱)

$$S = \frac{N \times 0.0064 \times 100}{A}$$

S: مقدار نمونه برداشته شده

N: حجم سود مصرفی بر حسب میلی‌لیتر [۱۶].

۲-۵- بریکس

اندازه‌گیری مواد جامد کل محلول (بریکس) نمونه‌های مختلف نوشیدنی به‌وسیله دستگاه رفراکтомتر (مدل ۲۰۸۱، شرکت MC، ساخت ژاپن) انجام شد. برای این منظور، پس از کالیبره کردن رفراکتمتر به‌وسیله آب مقطر در دمای محیط، یک قطره از نمونه روی سطح شیشه‌ای دستگاه قرار گرفت و با بستن درب دستگاه و تنظیم خط وسط، بریکس نمونه تعیین شد [۱۶].

۶-۲- رسوب

برای اندازه‌گیری میزان دو فاز شدن یا همان رسوب نمونه‌های مختلف نوشیدنی فراسودمند هلو، ابتدا ۱۵ میلی‌لیتر از هر نمونه در لوله‌های استوانه‌ای شکل مدرج منتقل و طی مدت یک شبانه روز در دمای ۵ درجه سلسیوس) نگهداری شد. سپس، با اندازه‌گیری حجم فاز پایینی هر نمونه و تقسیم آن بر حجم کل نمونه و ضرب عدد به‌دست آمده در ۱۰۰، میزان رسوب بر حسب درصد گزارش شد [۳].

۷-۲- کدورت

برای سنجش کدورت فرمولاسیون‌های مختلف نوشیدنی‌های فراسودمند هلو، از روش طیف‌سنجی استفاده شد. بدین‌منظور،

1. Power-law model

2. Central Composite Design

می باشند. تحلیل سطح پاسخ و ترسیم نمودارها با استفاده از نرمافزار دیزاین اکسپرت نسخه ۷ صورت پذیرفت. برای بررسی معنی داری اختلاف بین تیمارهای برگزیده از نقطه نظر پارامترهای رفتار جریانی و ویژگی های حسی، از آزمون چند دامنه ای دانکن، در سطح احتمال ۵ درصد، به وسیله نرمافزار SPSS نسخه ۲۱، استفاده شد.

۳- نتایج و بحث

۱-۳ pH و اسیدیته

داده های به دست آمده از اندازه گیری اسیدیته فرمولاسیون های مختلف نوشیدنی آب هلو فراسودمند در جدول ۱ نشان داده شده است. pH تمامی نمونه ها، پیش از فرآیند پاستوریزاسیون حرارتی به مقدار ثابت ۳/۶ تنظیم شد. از این رو، و با توجه به ارتباط تنگ pH و اسیدیته، تغییرات اسیدیته فاقد اهمیت آماری بود.

استویا و اینولین بودند. طرح مرکزی با استفاده از ۳ فاکتور دارای ۳ سطح، ۲۰ تیمار نوشیدنی با فرمولاسیون های مختلف ارائه کرد (جدول ۱). بطور کلی ۲۰ تیمار نوشیدنی تعریف شده بوسیله طرح CCD شامل سه گروه مجزا بودند. گروه تیمارهای مرکزی شامل ۶ نمونه بوده که همگی متغیرها در سطح صفر تعریف شده اند. گروه تیمارهای محوری شامل ۶ نمونه و ترکیبی از سطوح -۱، +۱ و صفر، و گروه تیمارهای مکعبی شامل ۸ نمونه که ترکیبی از سطوح -۱ و +۱ بودند. یک مدل چند جمله ای درجه دوم (رابطه ۳) به داده های تجربی برآورد شد:

رابطه (۳)

$$Y = \beta_0 + \sum_{i=1}^5 \beta_i X_i + \sum_{i=1}^5 \beta_{ii} X_i^2 + \sum_{i=1}^4 \sum_{j=i+1}^5 \beta_{ij} X_i X_j + \varepsilon_{ij}$$

که Y پاسخ (میانگین خطای مطلق) و β_0 ضرایب رگرسیونی به ترتیب برای عرض از مبدأ، خطی، درجه دوم و برهمکنش ها بوده و X_i و X_j متغیرهای مستقل

Table 1 Physicochemical properties of functional peach juice beverages

Run order	Independent variables				Dependent variables			
	WPC	Stevia	Inulin	pH	Acidity (%)	Brix (°)	Sedimentation (%)	Turbidity
1	1	0.04	4	3.6	0.08	12	13	0.7
2	1	0.08	4	3.6	0.07	13	13.75	0.7
3	3	0.06	6	3.6	0.06	13	18.75	2
4	3	0.06	6	3.6	0.06	13	19.4	1.7
5	1	0.06	6	3.6	0.08	12.5	11.75	0.7
6	3	0.06	6	3.6	0.07	13	18.3	2.1
7	1	0.04	8	3.6	0.07	11.5	7.5	1.4
8	1	0.08	8	3.6	0.07	12.5	8.75	1.3
9	3	0.08	8	3.6	0.06	14.5	14.2	2
10	3	0.08	6	3.6	0.07	12	18.75	2
11	3	0.06	4	3.6	0.08	13	26.5	2
12	5	0.08	4	3.6	0.08	12.5	50	1.9
13	5	0.06	6	3.6	0.09	14.5	40	2.1
14	3	0.04	6	3.6	0.07	12.5	19.6	2.3
15	3	0.06	6	3.6	0.07	13	20.1	2.3
16	3	0.06	6	3.6	0.07	13.5	18.7	2.1
17	5	0.08	4	3.6	0.09	15	25.83	2.2
18	5	0.04	8	3.6	0.07	16	26.8	2.2
19	3	0.06	6	3.6	0.06	13	21.4	1.9
20	5	0.04	4	3.6	0.07	14	49.16	2.3

دلیل عدم تولید صنعتی این گروه از محصولات در کشور می‌باشد. وجود تفاوت‌های بسیار در بریکس نوشیدنی‌های پروتئینه در نتایج پژوهش‌های مختلف، به‌طور ضمنی عدم وجود یک استاندارد بین‌المللی مورد توافق مجتمع علمی را نیز تایید می‌کند. بریکس نوشیدنی‌های تولیدی در این پژوهش، در محدوده ۱۶–۱۲ قرار داشتند. در پژوهش مشابه‌ای، بریکس نوشیدنی‌های آب‌پنیر حاوی ایزوله پروتئین آب‌پنیر بین ۱۰ تا ۲۱ و بریکس انواع حاوی هیدرولیسات پروتئین آب‌پنیر بین ۱۵ تا ۱۹ متغیر بودند [۳].

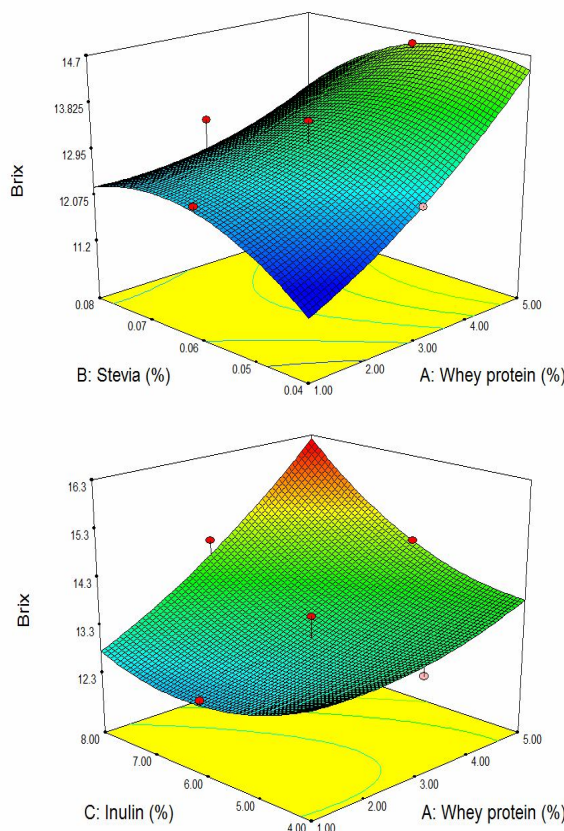


Fig 1 Surface plots for the interaction effects of formulation ingredients on the brix of functional peach juice beverages

امیر خمیریان و همکاران (۱۳۹۶) نیز در تلاش برای بهینه‌سازی فرمولاسیون نوشیدنی پروبیوتیک پرتفالی تولیدشده بر پایه تراوه آب‌پنیر گزارش کردند که بریکس نمونه بهینه حدود ۱۴/۵ می‌باشد [۱۹]. در پژوهش مشابه دیگری نیز که از تراوه عاری از لاكتوز و مواد معدنی، برای تولید یک نوشیدنی انبه فراسودمند استفاده شده بود، بریکس نوشیدنی‌های تولیدی بین ۵/۵ تا ۱۸/۵ متغیر بودند [۲۰].

۲-۳- بریکس

بر اساس یافته‌های آماری (جدول ۲) و آن‌گونه که پیش‌بینی می‌شد، استویا از تاثیر معنی‌داری ($P < 0.05$) بر بریکس نوشیدنی آب هلوی فراسودمند برخوردار نبود. با این حال، پروتئین‌های آب‌پنیر و اینولین هر دو به گونه معنی‌داری ($P < 0.01$) بریکس نوشیدنی‌های موردنظر را تحت تاثیر قرار دادند. ضریب مثبت این دو متغیر در مدل ریاضی اجزای فرمولاسیون و بریکس (رابطه ۴)، نشان‌دهنده افزایش بریکس در نتیجه افزایش میزان پروتئین‌های آب‌پنیر یا اینولین می‌باشد. در بین تاثیر متقابل اجزای فرمولاسیون بر بریکس، برهم‌کنش پروتئین آب‌پنیر-اینولین، و پروتئین آب‌پنیر-استویا از لحاظ آماری، معنی‌دار بود ($P < 0.01$). آن‌گونه که در نمودارهای سطح پاسخ تاثیر متقابل این اجزا می‌توان دید (شکل ۱)، در غلط‌های بالاتر اینولین، تاثیر افزایشی پروتئین آب‌پنیر بر بریکس تشدید شده است. این پدیده در مورد اینولین نیز صادق بود. بدین معنی که در غلط‌های بالاتر پروتئین آب‌پنیر، تاثیر اینولین بر بریکس چشمگیرتر بوده است. در ارتباط اثر متقابل پروتئین آب‌پنیر-استویا نیز مشاهد شد که شبیه افزایش بریکس در نتیجه افزایش پروتئین آب‌پنیر، در غلط‌های بالاتر استویا نسبت به غلط‌های پایین‌تر آن، کمتر بوده است. بر اساس داده‌های آماری، تغییرات بریکس به‌وسیله یک مدل درجه دوم قابل توضیح می‌باشد (جدول ۲). مقدار ضریب تعیین یا همان R^2 مدل یادشده، نشان‌دهنده این است که حدود ۹۵٪ تغییرات بریکس به‌وسیله تغییرات اجزای فرمولاسیون قابل توضیح است. معنی‌دار نبودن شاخص عدم برآذش نیز، نشان‌گر عدم نیاز به گنجاندن سایر متغیرها (به جز سه متغیر مورد بررسی) برای مدل‌کردن تغییرات بریکس به‌وسیله اجزای فرمولاسیون می‌باشد (جدول ۲).

معادله (۳)

$$Y = 13.14 + 1.05 \beta_1 + 0.50 \beta_3 - 0.56 \beta_1 \beta_2 + 0.69 \beta_1 \beta_3 - 0.67 \beta_2^2 + 0.55 \beta_3^2$$

Y: بریکس؛ β_1 : پروتئین آب‌پنیر؛ β_2 : استویا و β_3 : اینولین

تاکنون، استاندارد واحدی، دست‌کم در سطح ملی، برای بریکس نوشیدنی‌های پروتئینه تدوین نشده است که احتمالاً به

Table 2 Analysis of variance (ANOVA) for brix of functional peach juice beverages

Source	Sum of squares	DF	Mean squares	F-value	P-value
Model	22.27	9	2.47	26.61	< 0.0001**
β_1	11.02	1	11.02	118.57	< 0.0001**
β_2	0.020	1	0.020	0.22	< 0.6513n
β_3	2.50	1	2.50	26.89	< 0.0004**
$\beta_1^* \beta_2$	2.53	1	2.53	27.22	< 0.0004**
$\beta_1^* \beta_3$	3.78	1	3.78	40.67	< 0.0001**
$\beta_2^* \beta_3$	0.031	1	0.031	0.34	< 0.5749n
β_1^2	0.26	1	0.26	2.81	< 0.1243n
β_2^2	1.48	1	1.48	15.97	< 0.0025*
β_3^2	0.88	1		9.47	< 0.0117*
Residual error	0.93	10	0.093	-	-
Lack of fit	0.23	5	0.046	0.33	< 0.8765n
Pure error	0.70	5	0.14	-	-
Total error	23.20	19	-	-	-
$R^2 = 0.96$		$R^2_{\text{adjusted}} = 0.92$		$R^2_{\text{predicted}} = 0.85$	
C.V. = 2.31		Press: 3.46			

** Significant at 1% ($p < 0.01$); ** Significant at 5% ($p < 0.05$); n: not significant. β_1 : Whey protein; β_2 : Stevia; β_3 : inulin

ضریب R^2 مدل یادشده، نشان دهنده این است که بیش از ۹۹٪

۳-۳- رسم

تغییرات رسم به وسیله تغییرات اجزای فرمولاسیون قابل توضیح است. معنی دار نبودن شاخص عدم برآزش نیز، نشان گر عدم نیاز به گنجاندن سایر متغیرها (به جز سه متغیر مورد بررسی) برای مدل کردن تغییرات رسم به وسیله اجزای فرمولاسیون می باشد (جدول ۳).
رابطه (۵)

$$Y = 19.84 + 13.70 \beta_1 - 6.93 \beta_3 - 4.50 \beta_1 \beta_3 + 5.56 \beta_1^2$$

Y: رسم؛ β_1 : پروتئین آبپنیر؛ β_2 : استویا و β_3 : اینولین

رسم یکی از پیامدهای احتمالی فرآیند پاستوریزاسیون حرارتی نوشیدنی های حاوی پروتئین آبپنیر می باشد [۲۱]. پروتئین های آبپنیر، پروتئین هایی با ساختار گلوبولار هستند که در حالت عادی تمایلی با واکنش با یکدیگر ندارند. در نتیجه فرآیند حرارتی، پروتئین های آبپنیر و اسرشته و یا به اصلاح دناتوره می شوند. در نتیجه دناتوراسیون حرارتی پروتئین آبپنیر، گروه های عاملی آن از جمله گروه های سولفیدریل، که پیشتر درون ساختار آن قرار داشتند در سطح قرار گرفته و با برقراری بیوندهای دی سولفیدی با گروه های سولفیدریل پروتئین های مجاور، در تشکیل تجمعات پروتئینی مشارکت می جویند [۲۲]. در حضور گروه های فعل، فرآیند

بر اساس یافته ها، مقدار رسم یا همان درصد فاز پایینی نمونه های مختلف بین ۷/۵ تا ۵۰ درصد متغیر بود (داده ها نشان داده نشده اند). تحلیل آماری این نتایج (جدول ۳) نشان داد که استویا از تاثیر معنی داری ($P < 0.05$) بر رسم نوشیدنی های فراسودمند هلو برخوردار نمی باشد ولی دو جز دیگر فرمولاسیون شامل پروتئین های آبپنیر و اینولین، میزان این پارامتر را به گونه معنی داری ($P < 0.01$) تحت تاثیر قرار دادند. ضریب مثبت متغیر نخست و ضریب منفی متغیر دوم در مدل ریاضی توصیف کننده میزان رسم بر حسب تغییر اجزای فرمولاسیون (معادله ۳)، نشان گر این است که با افزایش پروتئین های آبپنیر میزان رسم به گونه معنی داری افزایش و با افزایش میزان اینولین، میزان آن به گونه معنی داری کاهش یافته است ($P < 0.01$). در بین اثر متقابل اجزای فرمولاسیون نیز، تنها تاثیر دو متغیر یاد شده معنی دار بود ($P < 0.01$). آن گونه که در نمودار سطح پاسخ تاثیر متقابل این دو متغیر بر رسم در شکل ۲ می توان دید، در غلظت های کم اینولین، شبی افزایش رسم در نتیجه افزایش پروتئین های آبپنیر بیشتر از غلظت های بالای اینولین بوده است. بر اساس داده های آماری، تغییرات رسم نوشیدنی های فراسودمند هلو به وسیله یک مدل درجه دوم قابل توضیح می باشد (رابطه ۵). مقدار

شد که در بین چهار نوع نوشیدنی آب پرتقال، آب سیب، آب هلو و آب گلابی، تنها، نوشیدنی آب سیب قادر رسوب بود [۲۳].

علاوه بر pH، یکی دیگر از راهکارهای کاهش تنهایت در نوشیدنی حاوی پروتئین آبپنیر، استفاده از هیدروکلوریدها می‌باشد. این ترکیبات با ویسکوز کردن نوشیدنی، به هم‌پیوستن پروتئین‌های دناتوره شده و یا آگرگیت‌های کوچک را کند و به عبارتی دشوار می‌کنند و بدین ترتیب باعث کاهش تنهایت این نوشیدنی‌ها می‌شوند [۲۱]. در پژوهشی در این زمینه، احمدی و همکاران (۲۰۱۸) عنوان داشتند که صمغ با واکنش با پروتئین‌های دناتوره شده آبپنیر مانع دوفازشدن نوشیدنی‌های آب‌آلبالو پروتئینه می‌شود [۲۴]. البته این استراتژی همواره موفقیت‌آمیز نبوده است. به عنوان مثال، کروز^۱ و همکاران (۲۰۰۹)، علی‌رغم استفاده از پکتین به عنوان یک هیدروکلورید در فرمولاسیون آب میوه حاوی آبپنیر، درجات مختلفی از رسوب را مشاهده کردند [۲۵]. کوفی^۲ و همکاران (۲۰۰۵) نیز مشاهده کردند که آب موزهای حاوی پروتئین حاوی پکتین، حاوی رسوبی بین ۱۰ تا ۳۰ درصد بودند که البته بسته به دما و زمان نگهداری متغیر بود [۲۱]. در پژوهش جاری نیز مشاهده شد که اینولین، رسوب نمونه‌های نوشیدنی را به صورت معنی‌داری کاهش می‌دهد با این حال، هیچ‌یک از فرمولاسیون‌های مورد بررسی قادر رسوب نبودند. همچنین مشاهده شد که در غلظت‌های بالای پروتئین آبپنیر، تاثیر کاهنده اینولین بر رسوب کمرنگ‌تر شد. البته برخی از پژوهشگران، مانند کاسترو^۳ و همکاران (۲۰۰۹) به طور کلی عدم تاثیر معنی‌دار افزودن غلظت‌های مختلف الیگوفرکتوز بر سینرسیس نوشیدنی‌های تخمیری بر پایه آبپنیر را گزارش کرده‌اند [۲۶]. در ارتباط با تاثیر استریا بر رسوب نیز، با توجه به میزان بسیار جزئی استفاده از آن، عدم تاثیر آن بر رسوب قابل پیش‌بینی بود.

آگر گاسیون همچنان ادامه پیدا می‌کند تا جایی که آگرگیت‌های آنقدر سنگین می‌شوند که توان مقابله با گرانش را از دست داده و رسوب می‌کنند [۲۱]. بر این اساس، غلظت پروتئین آبپنیر مهمترین عامل موثر در سرعت و تشکیل تجمع‌های پروتئینی و رسوب در پی آن می‌باشد. بدینهی است در حضور شمار بالاتر پروتئین‌های دناتوره شده، احتمال تماس آن‌ها با یکدیگر و به دنبال آن، تشکیل تجمعات پروتئینی بیشتر و یا بزرگتر، افزایش می‌باشد. در این پژوهش نیز مشاهده شد که با افزایش غلظت پروتئین آبپنیر، رسوب نوشیدنی‌ها به گونه چشمگیری افزایش می‌باشد. همین یافته‌ها در پژوهش‌های مشابه پیشین نیز گزارش شده بود [۲۲].

یکی از استراتژی‌های کارامد برای کاهش رسوب، دور کردن pH نوشیدنی از نقطه ایزوالکتریک آن می‌باشد [۳]. در مورد آب‌میوه‌های پروتئینی به دلیل ماهیت اسیدی بیشتر آمیوه‌ها، تمرکز بر کاهش pH به زیر نقطه ایزوالکتریک می‌باشد تا افزایش آن به بالای نقطه ایزوالکتریک. با کاهش pH به پایین-تر از نقطه ایزوالکتریک، دافعه الکتروستاتیک به شدت تقویت می‌شود. در واقع، گروه‌های H⁺ با قرار گرفتن بین پروتئین‌های دناتوره شده و یا آگرگیت‌های کوچک، مانع بهم پیوستن آنها و تشکیل آگرگیت‌های بزرگ می‌شوند [۳]. در پژوهشی نشان داده شد که آب‌سیب‌های حاوی ایزوله پروتئین آبپنیر و هیدرولیسات پروتئین آبپنیر به ترتیب در pH های بحرانی ۳/۱۵ و ۳/۴۷ کاملاً عاری از تنهایت بودند. این در حالی بود که افزایش pH به بالاتر از مقدار یاد شده، با افزایش شدید رسوب همراه بود [۳]. در پژوهش جاری، pH در زمرة متغیرهای فرآیند نبود و به مقدار ثابت ۳/۶ برای همه نمونه‌ها تنظیم شد. در پژوهش دیگری در ارتباط با تولید نوشیدنی‌های بر پایه آبپنیر با pH های مختلف (۳/۶، ۳/۷ و ۳/۸)، گزارش

1. Cruz
2. Koffi
3. Castro

Table 3 Analysis of variance (ANOVA) for sedimentation of functional peach juice beverages

Source	Sum of squares	DF	Mean squares	F-value	P-value				
Model	2654.29	9	294.92	244.54	< 0.0001**				
β_1	1878.00	1	1878.00	1557.21	< 0.0001**				
β_2	0.21	1	0.21	0.17	< 0.6856 ⁿ				
β_3	480.66	1	480.66	398.56	< 0.0001**				
$\beta_1 * \beta_2$	0.57	1	0.57	0.47	< 0.5085 ⁿ				
$\beta_1 * \beta_3$	162.27	1	162.27	134.55	< 0.0001**				
$\beta_2 * \beta_3$	0.21	1	0.21	0.18	< 0.1436 ⁿ				
β_1^2	90.02	1	90.02	74.64	< 0.0001**				
β_2^2	3.04	1	3.04	2.52	< 0.1436 ⁿ				
β_3^2	2.868	1	2.868	2.378	< 0.9621 ⁿ				
Residual error	12.06	10	1.21	-	-				
Lack of fit	5.25	5	1.05	0.77	< 0.6091 ⁿ				
Pure error	6.81	5	1.36	-	-				
Total error	2666.35	19	-	-	-				
$R^2 = 0.995$		$R^2_{\text{adjusted}} = 0.991$		$R^2_{\text{predicted}} = 0.981$					
C.V. = 4.97%									
Press: 49.70									

*ⁿ: Significant at 1% ($p < 0.01$); **: Significant at 5% ($p < 0.05$); n: not significant. β_1 : Whey protein; β_2 : Stevia; β_3 : inulin

بوده است و با افزایش غلظت پروتئین آبپنیر، از شدت تاثیر آن کاسته شده است. نتایج همچنین نشان دادند که یک مدل درجه دوم قادر به توضیح تغییرات کدورت بر اساس تغییرات اجزای فرمولاسیون خواهد بود (رابطه ۶). اساس مقدار ضریب R^2 ، حدود ۹۳ درصد از تغییرات کدورت نوشیدنی هلو به وسیله تغییرات اجزای فرمولاسیون قابل توضیح میباشد. معنی داری نبودن فاکتور عدم برازش نیز، تاکید بر کفایت متغیرهای فرآیند در پیش‌بینی میزان کدورت و عدم نیاز به گنجاندن سایر متغیرها در مدل ریاضی یاد شده میباشد (جدول ۴). رابطه (۶)

$$Y = 2.02 + 0.59 \beta_1 + 0.15 \beta_3 - 0.56 \beta_1^2$$

Y: کدورت؛ β_1 : پروتئین آبپنیر؛ β_2 : استویا و β_3 : اینولین کدورت در نتیجه حضور گستره آگرگیت‌های پروتئینی در نوشیدنی حاصل می‌شود. همسو با یافته‌های پژوهش جاری، لکلر و اتلز^۱ (۲۰۰۹) عنوان داشتند که با افزایش غلظت پروتئین، شمار آگرگیت‌ها بیشتر شده و به دنبال آن، نوشیدنی حاوی آن کدرتر به نظر می‌رسد [۵]. رحیمی و همکاران (۲۰۱۷) نیز مشاهده کردند که میزان عبور نور در نوشیدنی‌های انبه حاوی غلظت‌های بالاتر تراوه آبپنیر به مراتب کمتر است. این پژوهشگران در عین حال عنوان داشتند که پکتین از تاثیر معنی داری بر عبور نور و یا همان کدورت برخوردار نمی‌باشد

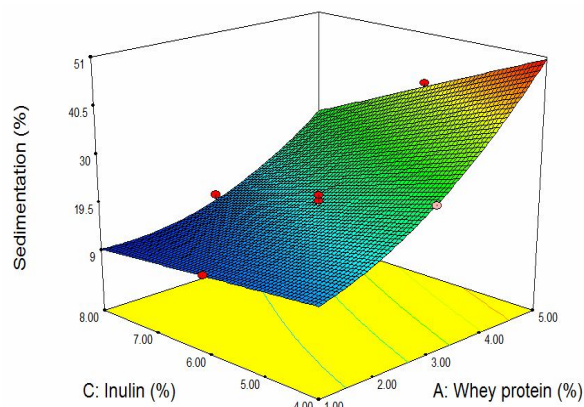


Fig 2 Surface plots for the interaction effect of formulation ingredients on the sedimentation of functional peach juice beverage

۴-۳- کدورت

نتایج تحلیل آماری تغییرات کدورت نمونه‌های مختلف نوشیدنی فراسودمند هلو (جدول ۴) نشان داد که استویا از تاثیر معنی داری ($P > 0.05$) بر کدورت برخوردار نبود و در نقطه مقابل، پروتئین آبپنیر ($P < 0.01$) و اینولین ($P < 0.05$) هر دو به گونه معنی داری باعث افزایش آن شدند. یافته‌ها همچنین حکایت از عدم تاثیر معنی دار اثر متقابل اجزای فرمولاسیون بر کدورت داشتند. البته لازم به ذکر است که اثر متقابل پروتئین آبپنیر-اینولین در آستانه معنی دار شدن در سطح اطمینان ۹۵ درصد بود ($0.06 < p < 0.05$). همانگونه که در نمودارهای سطح پاسخ شکل ۳ قابل مشاهده است، در غلظت‌های کمتر پروتئین آبپنیر، تاثیر افزایشی اینولین بر کدورت به مراتب چشمگیرتر

آگرگیت‌های پروتئینی موفق عمل کرده باشد، ماهیت کدرکننده مولکول‌های اینولین، به تنهایی برای افزایش کدورت نوشیدنی کفايت می‌کند. در ارتباط با تاثیر استویا نیز، به دلیل کاربرد مقادیر بسیار جزئی آن و همچنین بی میلی این شیرین‌کننده برای واکنش با سایر اجزای فرمولاسیون، عدم تاثیر معنی‌دار آن بر کدورت قابل انتظار بود.

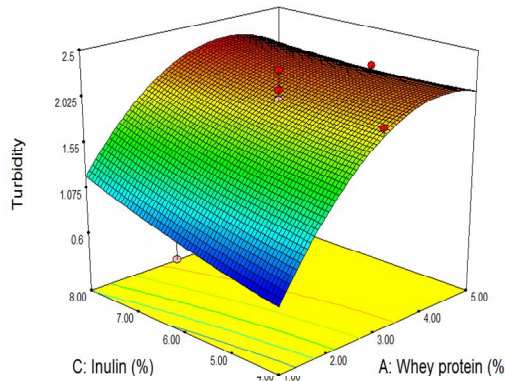


Fig 3 Surface plots for the interaction effects of formulation ingredients on the turbidity of functional peach juice beverage

[۲۰]. این در حالیست که در پژوهش جاری، اینولین که مانند پکتین از ماهیت قوام‌دهنگی بر محصول برخوردار می‌باشد، کدورت را به میزان قابل توجهی افزایش داد. در واقع، انتظار می‌رود که افزایش گرانزوی نوشیدنی در نتیجه حضور ترکیباتی مانند اینولین و یا پکتین، مشارکت پروتئین‌های دناتوره شده در تشکیل آگرگیت‌های پروتئینی را با دشواری مواجه ساخته و از این رو، باعث کاهش کدورت شود. البته لازمه تایید یا رد این فرض، اندازه‌گیری گرانزوی فرمولاسیون‌های مختلف و بررسی همبستگی آن با کدورت محصول است. به علاوه، باید توجه داشت که رسوب مرحله متعاقب کدورت می‌باشد. در واقع، تجمع‌های پروتئینی اگر از حدی بزرگتر شوند، در اثر نیروی گرانش به سمت ته ظرف حرکت کرده و لایه رسوب را تشکیل می‌دهند؛ از این رو، به نظر می‌رسد که اینولین احتمالاً به دلیل ایجاد ویسکوزیته، سرعت تهنشت آگرگیت‌ها را کاهش داده است ولی در جلوگیری از تشکیل آگرگیت‌ها یا دست‌کم آگرگیت‌های کوچک (عامل ایجاد ظاهر کدر) ناتوان بوده است. حتی اگر اینولین در ممانعت از یا کاهش سرعت تشکیل

Table 4 Analysis of variance (ANOVA) for turbidity of functional peach juice beverages

Source	Sum of squares	DF	Mean squares	F-value	P-value
Model	5.22	9	0.58	16.73	< 0.0001**
β_1	3.48	1	3.48	100.38	< 0.0001**
β_2	0.12	1	0.12	3.57	< 0.0883 ⁿ
β_3	0.22	1	0.22	6.49	< 0.0290*
$\beta_1 * \beta_2$	0.011	1	0.011	0.32	< 0.5815 ⁿ
$\beta_1 * \beta_3$	0.15	1	0.15	4.36	< 0.0633 ⁿ
$\beta_2 * \beta_3$	0.011	1	0.011	0.32	< 0.5815 ⁿ
β_1^2	0.90	1	0.90	25.97	< 0.0005**
β_2^2	0.011	1	0.011	0.31	< 0.5884 ⁿ
β_3^2	0.005	1	0.005	0.16	< 0.6937 ⁿ
Residual error	0.35	10	0.035	-	-
Lack of fit	0.21	5	0.043	1.61	< 0.3076 ⁿ
Pure error	0.13	5	0.027	-	-
Total error	5.57	19	-	-	-
$R^2 = 0.93$		$R^2_{\text{adjusted}} = 0.88$		$R^2_{\text{predicted}} = 0.61$	
$C.V. = 10.37\%$		Press: 2.15			

*% Significant at 1% ($p < 0.01$); **% Significant at 5% ($p < 0.05$); n: not significant. β_1 : Whey protein; β_2 : Stevia; β_3 : inulin

و بیشترین پروتئین صورت گرفت. جزئیات فرمولاسیون این نمونه‌ها در جدول ۵ ارائه شده است. نمونه‌های مورد نظر با فرمولاسیون‌های بهینه، تولید شدند و ویژگی‌های فیزیکوشیمیایی و حسی و رفتار جزئی آنها مورد بررسی قرار گرفت.

۵-۳- نمونه‌های برگزیده

فرآیند بهینه‌سازی با هدف دستیابی به چهار نمونه برگزیده با کم‌ترین رسوب؛ کم‌ترین رسوب و بیشترین استویا؛ کم‌ترین رسوب، بیشترین پروتئین؛ و کم‌ترین رسوب، بیشترین استویا

Table 5 Selected formulations of functional peach juice beverage

Selected formulations	Formulation ingredients			Description	Desirability
	WPC	Stevia	Inulin		
Sample code 1	1.70	0.04	5.52	Least sedimentation	1.000
Sample code 2	1.19	0.08	7.34	Least sedimentation Most stevia	1.000
Sample code 3	4.77	0.04	5.26	Least sedimentation Most protein	0.827
Sample code 4	3.74	0.08	5.98	Least sedimentation Most stevia Most protein	0.770

نسبت به نمونه ۳ و ۴ بودند. به نظر می‌رسد پیش‌بینی مدل‌های ریاضی، موفقیت‌آمیز بوده است چرا که نمونه کد ۲، تنها دارای حدود ۱۰ درصد رسوب می‌باشد.

۶-۳- ویژگی‌های فیزیکی و شیمیایی نمونه‌های برگزیده

بر اساس یافته‌ها (جدل ۶)، نمونه کد ۱ و ۲ (نمونه‌های حاوی پروتئین کمتر) دارای رسوب و کدورت به مراتب کمتری

Table 6 Physicochemical properties of the selected formulations of functional peach juice beverage

Selected formulations	Parameters		
	Brix	Sedimentation (%)	Turbidity
Sample code 1	11.6	13	1.56
Sample code 2	12.5	10.05	1.28
Sample code 3	13.78	36.18	2.37
Sample code 4	12.6	37.34	2.18

نسبت به دو نمونه دیگر کمتر بود. در واقع، نمونه دارای بیشترین پروتئین (نمونه کد ۳) دارای بالاترین و نمونه دارای کمترین پروتئین (نمونه کد ۲) دارای کمترین ان迪س قوام بودند. در مورد گرانزوی نیز، نمونه ۱ و ۲ دارای گرانزوی یکسان و نمونه ۳ و ۴ به مقدار جزئی کمتر از آنها بودند. البته لازم به ذکر است که تفاوت‌های یادشده به قدری ناچیز هستند که عملاً قابل چشمپوشی می‌باشند.

۷-۳- رفتار جریانی

نتایج بررسی رفتار جریانی در شکل ۴ و جدول ۷ قابل مشاهده است. با توجه به مقادیر به دست آمده برای شاخص جریان، همگی نمونه‌ها دارای رفتار یک سیال دیالاتانت یا همان غلیظ شونده با برش بودند. البته تغییرات جزئی نیز بین ۴ نمونه برگزیده مشاهده شد بدین صورت که رفتار غلیظشونده با برش در نمونه ۲ و ۴ که حاوی اینولین بیشتری بودند به مقدار بسیار جزئی بیشتر بود این در حالی است که ان迪س قوام آنها

Table 7 Flow behavior indices of the selected formulations of functional peach juice beverage

Selected formulations	Parameters			
	Viscosity (Pa.s)	Consistency index (Pa.s ⁿ)	Flow index	R ²
Sample code 1	0.0048	0.00023	1.46337	0.935
Sample code 2	0.0048	0.00020	1.47360	0.996
Sample code 3	0.0041	0.00025	1.46119	0.938
Sample code 4	0.0039	0.00022	1.47174	0.914

عبارت دیگر، با افزایش آهنگ برش، مقاومت سیال در برابر تغییر شکل افزایش پیدا می‌کند. سوپسانسیون‌های ذرات نشاسته در آب، نمونه‌ای از سیالات دیالاتانت می‌باشند [۲۷]. رفتار

سیالات با ان迪س جریانی بیشتر از ۱، سیالات دیالاتانت یا غلیظشونده با برش نامیده می‌شوند [۲۷]. شاخصه این نوع رفتار جریانی، کاهش کرنش در مقابل افزایش تنش می‌باشد. به

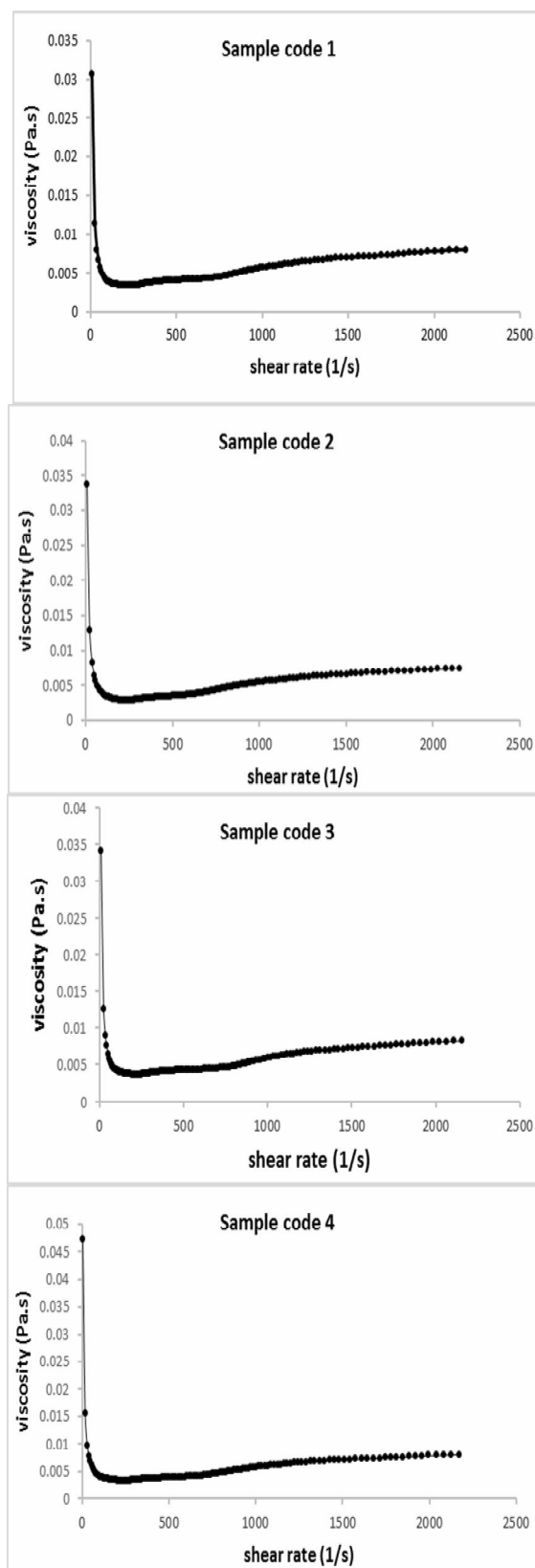


Fig 4 Flow behavior of the selected formulations of functional peach juice beverage

آب میوه‌های شفاف، عموماً یک رفتار نیوتونی است این در حالی است که انواع پالپی مانند آب هلو یا آب پرتقال، رفتار سودوپلاستیک یا رقیق‌شونده با برش از خود نشان می‌دهند [۲۸]. گزارش شده است که تلفیق ماکرومولکول‌های مانند پروتئین آب‌پنیر باعث تغییر رفتار آب میوه از سیال نیوتونی به سیال سودوپلاستیک می‌شود. گودرزی و همکاران (۲۰۱۵) گزارش کردند که آب‌سیب‌های تلفیق شده با پروتئین بکر یا هیدرولیز شده آب‌پنیر از رفتار جریانی یک سیال سودوپلاستیک پیروی می‌کنند و علت آن را به شکستن شدن آگرگیت‌های پروتئینی در نتیجه افزایش آهنگ برش و در بی آن، کاهش مقاومت آگرگیت‌های کوچکتر به نیروی برشی نسبت دادند [۳]. کاسترو و همکاران (۲۰۰۹) نیز عنوان داشتند که نوشیدنی‌های آب‌پنیر تلفیق شده با اولیگوفرکتوز، دارای یک رفتار سودوپلاستیک می‌باشند [۲۶]. البته همسو با یافته‌های پژوهش جاری، یاداو^۱ و همکاران (۲۰۱۶) مشاهده کردند که با افزایش غلظت پروتئین‌های آب‌پنیر اندیس جریان نوشیدنی انبه پروتئینه افزایش یافت. با افزایش غلظت پروتئین آب‌پنیر از ۳ به ۴ درصد، افزایش اندیس جریان به قدری شدید بود که باعث تغییر رفتار نوشیدنی از یک سیال سودوپلاستیک به یک سیال دایلاتانت شد [۲۹]. لازم به ذکر است که بین گرانزوی و شاخص‌های رفتار جریانی نمونه‌های برگزیده از جمله اندیس قوام و اندیس جریان، تفاوت‌هایی بسیار جزئی دیده شد که عملأً قابل چشم‌پوشی می‌باشد.

۸-۳- ویژگی‌های حسی

نگاهی به نتایج ارزیابی حسی (شکل ۵) نشان می‌دهد که تفاوت بین مطلوبیت ویژگی‌های مختلف حسی نمونه‌های برگزیده از الگوی تقریباً یکسانی پیروی می‌کند. بدین معنی که نمونه کد ۳ و ۱ نمره ارزیابی حسی (طعم، بو و احساس دهانی) مشابه‌ای دریافت کردند و هر دو از مطلوبیت کمتری از دو نمونه دیگر برخوردار بودند. همچنین، بالاترین نمره ارزیابی حسی برای تمامی پارامترها به نمونه کد ۲ و پس از آن به نمونه کد ۴ تعلق گرفت.

است که سه نمونه کد ۱، ۲ و ۴ نیز اختلاف معنی دار آماری از لحاظ میزان پذیرش کلی نداشتند.

۴- نتیجه‌گیری کلی

در این پژوهش، فرمولاسیون‌های مختلفی از نوشیدنی فراسودمند بدون شکر هلو با استفاده از پروتئین آب‌پنیر، استویا و اینولین تولید شد. آن‌گونه که پیش‌بینی می‌شد، پروتئین آب‌پنیر و اینولین بریکس را به نحو چشم‌گیری افزایش دادند ولی استویا از تاثیر معنی‌داری بر آن برخوردار نبود. در حالیکه پروتئین‌های آب‌پنیر به صورت چشمگیری باعث افزایش رسوب شدند، افزایش اینولین، کاهش معنی‌دار آن را به همراه داشت. البته هر دو، به گونه مشابهی باعث افزایش کدورت شدند. استویا نیز از تاثیر معنی‌داری بر رسوب و کدورت برخوردار نبود. با استفاده از روش سطح پاسخ، ۴ فرمولاسیون بهینه با هدف دستیابی به کمترین رسوب انتخاب شدند که در بین آنها، فرمولاسیون کد ۲ (پروتئین آب‌پنیر: ۱/۲۸، استویا: ۰/۰۸، اینولین: ۷/۳۴) بهترین نتایج را (رسوب: حدود ۱۰٪) نشان داد. رفتار جریانی همه نمونه‌های بهینه، یک رفتار غلیظ شونده با برش بود. با این حال، تفاوت‌های بسیار جزئی نیز بین گرانزوی و شاخص‌های رفتار جریانی (اندیس قوام و اندیس جریان) آنها مشاهده شد. بین ویژگی‌های حسی نمونه‌های برگزیده نیز تفاوت معنی‌دار آماری دیده نشد اگرچه، نمونه کد ۲ بالاترین نمره پذیرش کلی را کسب کرد.

۵- منابع

- [1] Siro, I., Kápolna, E., Kápolna, B., & Lugasi, A. (2008). Functional food. Product development, marketing and consumer acceptance—A review. *Appetite*, 51(3), 456-467.
- [2] Nongonierma, A. B., & FitzGerald, R. J. (2015). The scientific evidence for the role of milk protein-derived bioactive peptides in humans: A Review. *Journal of Functional Foods*, 17, 640-656.
- [3] Goudarzi, M., Madadlou, A., Mousavi, M. E., & Emam- Djomeh, Z. (2015). Formulation of apple juice beverages containing whey protein isolate or whey protein hydrolysate based on sensory and physicochemical analysis. *International journal of dairy technology*, 68(1), 70-78.

البته لازم به ذکر است که از لحاظ آماری تفاوت معنی‌داری بین مطلوبیت حسی (به استثنای پذیرش کلی) چهار نمونه برگزیده مشاهده نشد. در ارتباط با برتری طعم نمونه کد ۲ و ۴، علت را می‌توان به غلظت بیشتر استویا در این نمونه‌ها نسبت داد. مطلوبیت کمتر طعم نمونه ۴ نسبت به ۲ نیز احتمالاً به دلیل حضور پررنگ‌تر پروتئین آب‌پنیر در فرمولاسیون این نمونه می‌باشد. تاثیر منفی آب‌پنیر و مشتقات آن بر طعم آب‌میوه‌ها، پیشتر بواسیله پوناگایاراسی^۱ و همکاران (۲۰۱۷) [۳۰] امیر خمیریان و همکاران (۱۳۹۶) [۱۹] و گودرزی و همکاران (۲۰۱۵) [۳] نیز گزارش شده است. البته در ارتباط با مطلوبیت بو، انتظار بر کسب نمره کمتر برای نمونه حاوی پروتئین بیشتر بود که این‌گونه نشد. با این حال، با توجه به معنی‌دار نبودن آماری تفاوت‌های مشاهده شده، اختلاف بین نمرات ارزیابی بو کد ۲ و ۴ و مشخصاً نمونه کد ۲، به دلیل محتوای بالاتر اینولین، نمرات ارزیابی حسی بالاتری کسب کردند. فورلان^۲ و همکاران (۲۰۱۱) [۱۱] نیز بهبود پذیرش حسی نوشیدنی آب‌پنیر حاوی مقادیر بالاتر اینولین را گزارش کردند [۳۱].

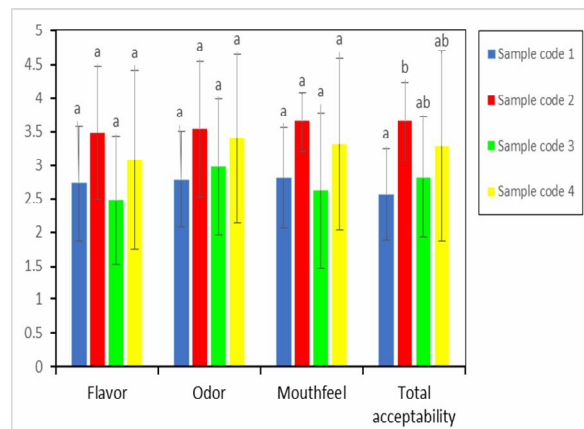


Fig 5 Sensory scores of the selected formulations of functional peach juice beverage
Different lowercase letters stand for significant differences between treatments ($p < 0.05$)

برتری نمونه کد ۲ (نمونه دارای بیشترین استویا و اینولین و کمترین پروتئین آب‌پنیر) در مطلوبیت طعم، بو و احساس دهانی (اگرچه از لحاظ آماری معنی‌داری نبود) در نهایت باعث برتری معنی‌داری پذیرش کلی آن نسبت به نمونه ۱ شد اگرچه با نمونه کد ۳ و ۴ اختلاف معنی‌دار آماری نداشت. لازم به ذکر

1. Punnagaiarası
2. Furlan

- [15] Jooyandeh, H., Goudarzi, M., Rostamabadi, H., & Hojjati, M. (2017). Effect of Persian and almond gums as fat replacers on the physicochemical, rheological, and microstructural attributes of low-fat Iranian White cheese. *Food science & nutrition*, 5(3), 669-677.
- [16] Anonymous. (2011). Institute of Standards and Industrial Research of Iran. No 14345. Carbonated fruit juices, fruit nectars, fruit base drinks- Specifications and test methods. [In Persian].
- [17] Yousefi, A. R., Shahi, F. and Sheikhloie, H. (2016). Investigation of the steady shear flow behavior of Iranian peach concentrate: influence of concentration and temperature. *Innovative Food Technologies*, 3 (10), 11-22. [In Persian].
- [18] Meshkati, M. and Mortazavi, S.A. (2017). Optimization of formulation of fermented dairy beverage containing whey powder and commercial stabilizer using response surface design. *Iranian Journal of Food Science and Technology*, 66 (14), 39-47. [In Persian].
- [19] Khamirian, R.A., Jooyandeh, H., Hesari, J. and Barzegar, H. (2017). Optimization and investigation on physicochemical, microbial and sensory quality of permeate-based probiotic orange beverage. *Iranian Journal of Food Science and Technology*, 65 (14), 185-197. [In Persian].
- [20] Rahimi, M., Kalbasi Ashtari, A., Labbafi, M., Longnecker, M., & Khodayian, F. (2017). Characterization and sensory evaluation of a novel grapefruit beverage made with lactose free demineralized milk permeate. *Journal of food process engineering*, 40(1), e12313.
- [21] Koffi, E., Shewfelt, R., & Wicker, L. (2005). Storage stability and sensory analysis of UHT processed whey banana beverages. *Journal of food quality*, 28(4), 386-401.
- [22] Goudarzi, M., Madadlou, A., Mousavi, M. E., & Emam-Djomeh, Z. (2012). Optimized preparation of ACE-inhibitory and antioxidative whey protein hydrolysate using response surface method. *Dairy Science & Technology*, 92(6), 641-653.
- [23] Djurić, M., Carić, M., Milanović, S., Tekić, M., & Panić, M. (2004). Development of whey-based beverages. *European Food Research and Technology*, 219(4), 321-328
- [24] Ahmadi, S. F., Nasirpour, A., Goli, S. A. H., & Riahi, E. (2018). Effect of heat treatment and solution preparation procedure [4] Beecher, J. W., Drake, M. A., Luck, P. J., & Foegeding, E. A. (2008). Factors regulating astringency of whey protein beverages. *Journal of dairy science*, 91(7), 2553-2560.
- [5] LaClair, C. E., & Etzel, M. R. (2009). Turbidity and protein aggregation in whey protein beverages. *Journal of food science*, 74(7), C526-C535.
- [6] LaClair, C. E., & Etzel, M. R. (2010). Ingredients and pH are key to clear beverages that contain whey protein. *Journal of Food Science*, 75(1), C21-C27
- [7] Lee, C. A., & Vickers, Z. M. (2008). The astringency of whey protein beverages is caused by their acidity. *International Dairy Journal*, 18(12), 1153-1156.
- [8] Teimouri, S., Abbasi, S., & Scanlon, M. G. (2018). Stabilisation mechanism of various inulins and hydrocolloids: Milk-sour cherry juice mixture. *International journal of dairy technology*, 71(1), 208-215.
- [9] Mensink, M. A., Frijlink, H. W., van der Voort Maarschalk, K., & Hinrichs, W. L. (2015). Inulin, a flexible oligosaccharide I: Review of its physicochemical characteristics. *Carbohydrate polymers*, 130, 405-419
- [10] Shoaib, M., Shehzad, A., Omar, M., Rakha, A., Raza, H., Sharif, H. R., ... & Niazi, S. (2016). Inulin: Properties, health benefits and food applications. *Carbohydrate polymers*, 147, 444-454.
- [11] Wouters, R. (2009). Inulin. Food stabilisers, thickeners and gelling agents, 180-197.
- [12] Tungland, B. C., & Meyer, D. (2002). Nondigestible oligo- and polysaccharides (Dietary Fiber): their physiology and role in human health and food. *Comprehensive reviews in food science and food safety*, 1(3), 90-109.
- [13] Lemus-Mondaca, R., Vega-Gálvez, A., Zura-Bravo, L., & Ah-Hen, K. (2012). Stevia rebaudiana Bertoni, source of a high-potency natural sweetener: A comprehensive review on the biochemical, nutritional and functional aspects. *Food chemistry*, 132(3), 1121-1132.
- [14] Kroyer, G. (2010). Stevioside and Stevia-sweetener in food: application, stability and interaction with food ingredients. *Journal für Verbraucherschutz und Lebensmittelsicherheit*, 5(2), 225-229.

- [28] Abbasi, S. 2008. A Handbook of Elementary Rheology. Translated. Marz-e-Danesh Press
- [29] Yadav, D. N., Vishwakarma, R. K., Borad, S., Bansal, S., Jaiswal, A. K., & Sharma, M. (2016). Development of protein fortified mango based ready-to-serve beverage. *Journal of food science and technology*, 53(10), 3844-3852.
- [30] Punnagaiarasi, A., Elango, A., & Karthikeyan, N. (2017). Sensory analysis of whey-based watermelon beverage. *Scientific Research Forum*.
- [31] Furlán, L. T. R., Padilla, A. P., & Campderros, M. (2011). Development of a functional beverage formulation with high protein content, inulin and Stevia. *International journal of food engineering*, 7(3).
- [25] Cruz A G, Sant'Ana A S, Macchione M M, Teixeira ^A M and Schmidt F L (2009) Milk drink using butter cheese (queijo manteiga) and acerola juice as a potential source of vitamin C. *Food and Bioprocess Technology* 2 368–373.
- [26] De Castro, F. P., Cunha, T. M., Barreto, P. L., AMBONI, R. D. D. M., & Prudencio, E. S. (2009). Effect of oligofructose incorporation on the properties of fermented probiotic lactic beverages. *International Journal of Dairy Technology*, 62(1), 68-74.
- [27] Abbasi, S. 2007. Food Texture and Viscosity: Concept and Measurement. Translated. Marz-e-Danesh Press

Optimization of Functional Peach Beverage Formulation and Study of Its Physicochemical and Sensorial Properties

Afshani, E.¹, Beigmohammadi, Z.^{2*}, Mirmajidi Hashtjin, A.³

1. Department of Food Science and Technology, Faculty of Pharmacy, Tehran Medical Sciences, Islamic Azad University, Tehran, Iran.
2. Young Researchers and Elite Club, Tehran Medical Sciences, Islamic Azad University, Tehran, Iran.
3. Assistant Professor of Agricultural Engineering Research Institute, Agricultural Research, Education and Extension Organization (AREEO), Karaj, Iran

(Received: 2019/06/14 Accepted: 2019/10/07)

The objective of present study was to develop a functional peach juice beverage. To this end, formulation ingredients of the beverage including whey protein concentrate (WPC) (1-5%), stevia (0.04-0.08%) as sugar replacer and inulin (4-8%) were optimized according to a central composite design (CCD) using response surface method. The results showed that the brix was profoundly promoted as the level of WPC or inulin increased but it was not affected by stevia. It was observed that while beverages with higher whey protein concentration had greater sedimentation tendency, inulin had a noticeably decreasing effect on it. However, they both significantly resulted in higher turbidity for the beverages. Moreover, stevia showed no significant effect on sedimentation degree and turbidity of the samples. Four optimum formulations including the sample with the least sedimentation (code 1), the sample with the least sedimentation and the most stevia (code 2), the sample with the least sedimentation and the most WPC (code 3) and the sample with the least sedimentation and the most stevia and WPC (code 4) were selected using response surface optimization. The results revealed that all the optimized samples had a shear-thickening behavior, albeit negligible differences were observed between their flow behavior indices. Similarly, the optimized samples did not significantly differ in terms of sensory attributes of flavor, odor and mouth feel; the sample code 2, however, received the highest score for total acceptability. In conclusion, the sample code 2 (WPC 1.19, Stevia 0.08 and inulin 7.34 % w/w) as the sample with the lowest sedimentation degree and the highest organoleptic quality could be introduced as the best sample.

Keywords: Peach juice, Whey protein concentrate, Stevia, Inulin, RSM

*Corresponding Author E-Mail Address: Beigmohammadi.zahra@gmail.com